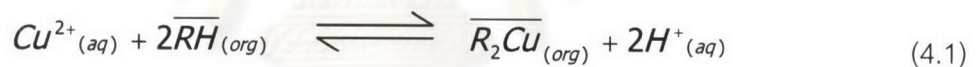


บทที่ 4

ผลการทดลอง และวิจารณ์ผลการทดลอง

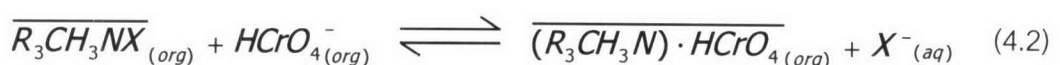
งานวิจัยนี้เป็นการศึกษาประสิทธิภาพในการสกัดและนำกลับโลหะทองแดงและโครเมียมจากสารละลายโลหะผสม โดยใช้กระบวนการเยื่อแผ่นเหลวที่พยางค์ด้วยเส้นใยกลวงแบบต่อเนื่อง เพื่อศึกษาปัจจัยต่างๆ อาทิเช่น ความเป็นกรด-ด่างในสารละลายป้อน ความเข้มข้นของสารสกัด ความเข้มข้นของสารละลายสตริป และจำนวนรอบในการผ่านโมดูลเส้นใยกลวง

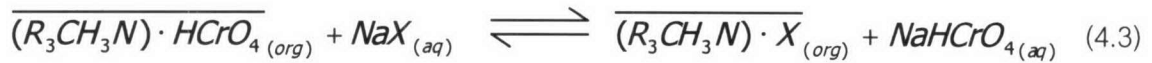
การสกัดไอออนโลหะทั้งสามชนิด อันได้แก่ ทองแดง โครเมียม และสังกะสีนั้น เมื่อพิจารณาในโมดูลเส้นใยกลวงคอลัมน์ที่หนึ่งซึ่งบรรจุสารสกัด LIX 84-I จะพบว่าไอออนทองแดงเท่านั้นที่จะเกิดกระบวนการสกัดและนำกลับ เนื่องจากสารสกัด LIX 84-I ผลิตมาเพื่อใช้ในการสกัดไอออนโลหะที่มีประจุบวกโดยเฉพาะโลหะทองแดง เป็นเหตุให้ไอออนสังกะสีจะไม่เกิดการสกัดและนำกลับ (ภายใต้สภาวะความเป็นกรด-ด่างที่ศึกษา) แม้ว่าจะมีประจุบวกเช่นกัน ปฏิบัติการสกัดและนำกลับของทองแดง [Rousseau, 1987] แสดงดังสมการ (4.1)



โดย RH คือสารสกัด LIX 84-I ซึ่งการถ่ายเทมวลนั้นไอออนทองแดงในสารละลายป้อนกับไฮโดรเนียมไอออนในสารละลายสตริปจะเคลื่อนที่ในทิศทางสวนทางกันในวัฏภาคสารละลายเยื่อแผ่นเหลว

ส่วนในโมดูลเส้นใยกลวงคอลัมน์ที่สองซึ่งบรรจุด้วยสารสกัดอะลิควอด จะพบว่าไอออนโครเมียมเท่านั้นที่จะเกิดการสกัดและนำกลับ เนื่องจากสารสกัดอะลิควอดเป็นสารสกัดชนิดเบสที่มีอนุโมลิสระ (คลอไรด์ไอออน) เหมาะสมกับการเกิดปฏิกิริยากับไอออนโลหะที่มีประจุลบ ซึ่งไอออนโครเมียมเท่านั้นที่จะแตกตัวให้ประจุลบ ส่วนไอออนทองแดงและสังกะสีจะแตกตัวให้ประจุบวก ปฏิบัติการสกัดและนำกลับของโครเมียม [Rousseau, 1987] แสดงดังสมการ (4.2) และ (4.3) ตามลำดับ





โดย R_3CH_3NCl คือสารสกัดอะลิควอต และ X คือ คลอไรด์ไอออน (Cl^-) หรือไฮดรอกไซด์ไอออน (OH^-) ซึ่งการสกัดจะเริ่มจากไอออนโครเมียมในสารละลายป้อนทำปฏิกิริยากับสารสกัดอะลิควอต (เริ่มต้น X เป็นคลอไรด์ไอออน) ดังสมการ (4.2) ได้เป็นสารประกอบเชิงซ้อนระหว่างไอออนกับสารสกัด หลังจากนั้นเกิดการนำกลับด้วยโซเดียมไฮดรอกไซด์ ($NaOH$) ดังสมการ (4.3) ได้ไอออนโลหะมาสู่สารละลายสตริปและสารสกัดที่มีหมู่ไฮดรอกไซด์แทนที่คลอไรด์ [Galan, 1994] เพื่อนำไปใช้ในการสกัดต่อไป การถ่ายเทมวลนั้นไอออนโครเมียมในสารละลายป้อนกับไฮดรอกไซด์ไอออนจะเคลื่อนที่ในทิศทางสวนทางกันในวัฏภาคสารละลายเยื่อแผ่นเหลว ซึ่งแรงขับในกระบวนการเยื่อแผ่นเหลวคือผลต่างของความเป็นกรด-ด่างในกระบวนการ ดังนั้นกลไกการถ่ายเทมวลจะเกิดขึ้นเรื่อยๆ จนกว่าระบบจะเข้าสู่สมดุล

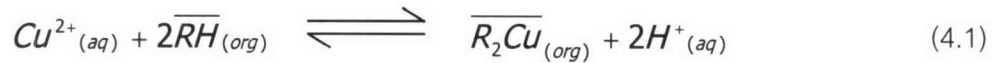
4.1 ผลของความเป็นกรด-ด่างของสารละลายป้อนที่มีต่อการสกัดและนำกลับโลหะ

การทดลองเพื่อศึกษาผลของความเป็นกรด-ด่างในสารละลายป้อน ทำโดยการเปลี่ยนแปลงค่าความเป็นกรด-ด่างในสารละลายป้อนเป็น 1.5 2 2.5 3 3.5 และ 4 ตามลำดับ ส่วนปัจจัยอื่นๆ จะมีค่าคงที่ ดังนี้คือ ความเข้มข้นของโลหะแต่ละชนิดในสารละลายป้อน (ทองแดงโครเมียม และสังกะสี) มีค่า 100 ppm โดยโมดูลเส้นใยกลวงคอลัมน์ที่หนึ่งบรรจุสารสกัด LIX 84-I ความเข้มข้น 1 เปอร์เซ็นต์โดยปริมาตรละลายในตัวทำละลายเคโรซีน และใช้กรดซัลฟูริกความเข้มข้น 0.1 มิลลิลิตรเป็นสารละลายสตริป ส่วนโมดูลเส้นใยกลวงคอลัมน์ที่สองบรรจุสารสกัดอะลิควอตและโดเดคคานอล (สารปรับปรุงคุณภาพ) เข้มข้น 1 และ 5 เปอร์เซ็นต์โดยปริมาตรตามลำดับ ละลายในตัวทำละลายเคโรซีน และใช้โซเดียมไฮดรอกไซด์เข้มข้น 0.5 มิลลิลิตรเป็นสารละลายสตริป อัตราการไหลของสารละลายป้อนและสารละลายสตริปมีค่า 100 มิลลิลิตรต่อนาที รูปแบบการไหลเป็นแบบสวนทางกันและไหลผ่านครั้งเดียว ผลการทดลองที่ได้แสดงดังรูปที่ 4.1 และ 4.2 ตามลำดับ การอธิบายผลการทดลองจะพิจารณาแต่ละโมดูลเส้นใยกลวง ดังนี้

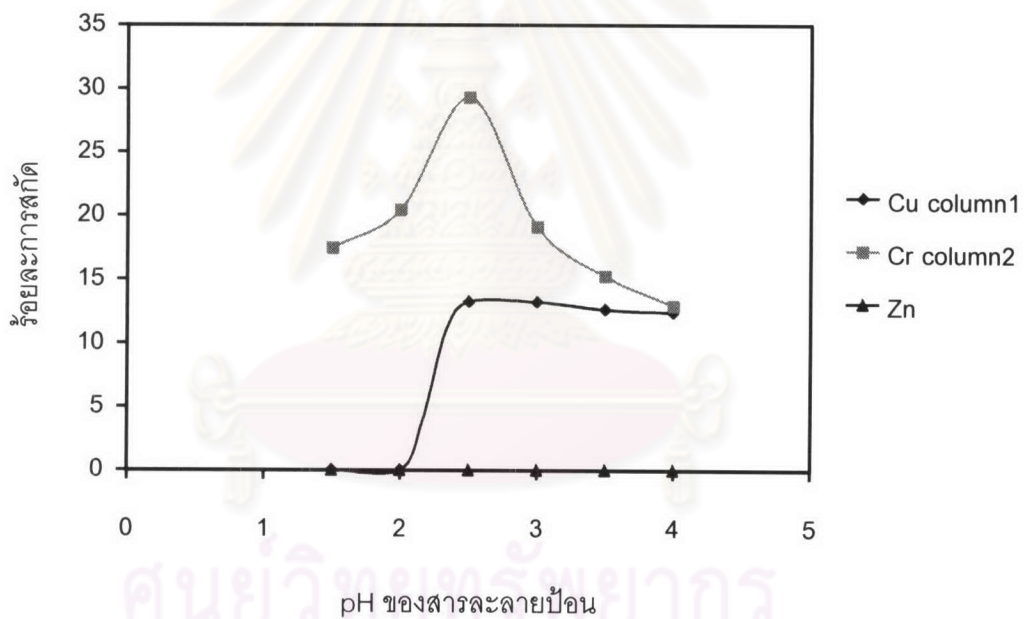
โมดูลเส้นใยกลวงคอลัมน์ที่หนึ่ง

จากรูปที่ 4.1 และ 4.2 พบว่าในคอลัมน์ที่หนึ่งจะเกิดการสกัดและนำกลับเฉพาะไอออนทองแดงเท่านั้น โดยเมื่อความเป็นกรด-ด่างในสารละลายป้อนสูงขึ้น ร้อยละการสกัดและนำกลับมี

แนวโน้มสูงขึ้นและคงที่เมื่อความเป็นกรด-ด่างมีค่ามากกว่า 2.5 สามารถอธิบายผลการทดลองด้วยสมการ (4.1)



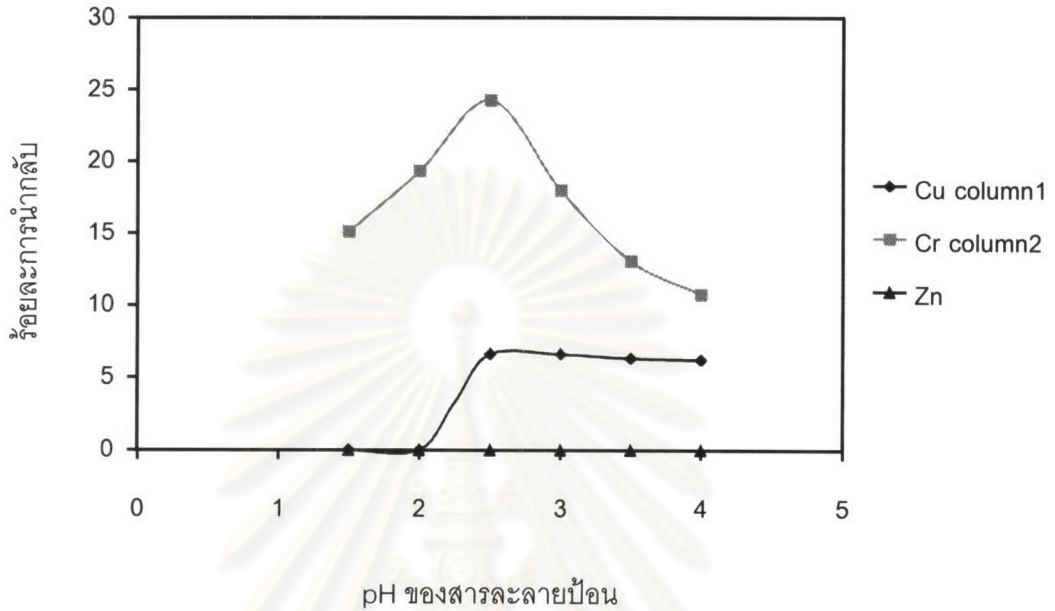
จากสมการ (4.1) จะเห็นว่า เมื่อความเป็นกรด-ด่างในสารละลายป้อนเพิ่มขึ้น จะส่งผลให้ไฮโดรเนียมไอออน (H^+) มีค่าลดลง ทำให้ปฏิกิริยาจะดำเนินไปข้างหน้ามากขึ้นตามทฤษฎีของเฮนรี หลุยส์ เลอชาเตอริเยร์ (Henry Louis Le Chatelier) [ณรรูพล วิจิตรเฉลิมพงษ์, 2545] ทำให้ได้สารประกอบเชิงซ้อนระหว่างทองแดงกับสารสกัด (R_2Cu) มากขึ้น เป็นเหตุให้ร้อยละการสกัดเพิ่มขึ้น นอกจากนี้ผลต่างของความเป็นกรด-ด่างระหว่างสารละลายป้อนกับสารละลายสตริปถือเป็นแรงขับที่สำคัญต่อการถ่ายเทมวลของกระบวนการเยื่อแผ่นเหลว



รูปที่ 4.1 ความสัมพันธ์ระหว่างความเป็นกรด-ด่างในสารละลายป้อนกับร้อยละการสกัดของโลหะ เมื่อ $[\text{Cu}^{2+}]_F = [\text{HCrO}_4]_F = [\text{Zn}^{2+}]_F = 100 \text{ ppm}$, $[\text{LIX 84-I}]_{M1} = 1\%v/v$, $[\text{Aliquat}]_{M2} = 1\%v/v$, $[\text{H}_2\text{SO}_4]_{S1} = 0.1 \text{ M}$, $[\text{NaOH}]_{S2} = 0.5 \text{ M}$ และ $Q_F = Q_S = 100 \text{ มิลลิลิตรต่อนาที}$

ส่วนค่าร้อยละการนำกลับของไอออนทองแดงจะมีแนวโน้มเช่นเดียวกับร้อยละการสกัด เมื่อพิจารณาจากผลการทดลองจะเห็นว่า ความเป็นกรด-ด่างในสารละลายป้อนที่เหมาะสมในการสกัดและนำกลับไอออนทองแดงคือมีค่าความเป็นกรด-ด่างมากกว่า 2.5 โดยที่ความเป็นกรด-ด่าง 2.5 3 3.5 และ 4 มีค่าร้อยละการสกัด 13.21 13.19 12.61 และ 12.37 ตามลำดับ ส่วนค่าร้อยละ

ละการนำกลับเป็น 6.60 6.59 6.31 และ 6.19 ตามลำดับ ซึ่งในการตัดสินใจเลือกใช้ความเป็นกรด-ต่างในสารละลายป้อนที่เหมาะสมในการดำเนินการจะต้องพิจารณาจากผลการทดลองที่มีต่อโมดูลเส้นใยถลุงคอลลัมน์ที่สองประกอบด้วย



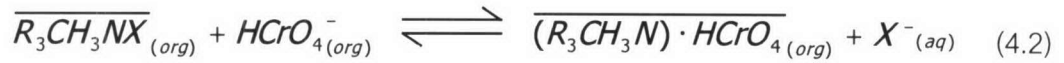
รูปที่ 4.2 ความสัมพันธ์ระหว่างความเป็นกรด-ต่างในสารละลายป้อนกับร้อยละการนำกลับของโลหะ เมื่อ $[Cu^{2+}]_F = [HCrO_4^-]_F = [Zn^{2+}]_F = 100$ ppm, $[LIX\ 84-I]_{M1} = 1\%v/v$, $[Aliquat]_{M2} = 1\%v/v$, $[H_2SO_4]_{S1} = 0.1$ M, $[NaOH]_{S2} = 0.5$ M และ $Q_F = Q_S = 100$ มิลลิลิตรต่อนาที

โมดูลเส้นใยถลุงคอลลัมน์ที่สอง

จากรูปที่ 4.1 และ 4.2 พบว่าในคอลลัมน์ที่สองนั้นจะเกิดการสกัดและนำกลับเฉพาะไอออนโครเมียมเท่านั้น ส่วนทองแดงและสังกะสีจะไม่เกิดการสกัดและนำกลับ สำหรับในช่วงความเป็นกรด-ต่างที่ทำการทดลอง (pH 2-6) ไอออนโครเมียมในสารละลายป้อนจะปรากฏในรูป $HCrO_4^-$ [Herold et al., 1994] โดยเมื่อความเป็นกรด-ต่างในสารละลายป้อนสูงขึ้น ค่าร้อยละการสกัดและนำกลับมีแนวโน้มสูงขึ้นจนถึงค่าความเป็นกรด-ต่าง 2.5 หลังจากนั้นจะมีแนวโน้มลดต่ำลง

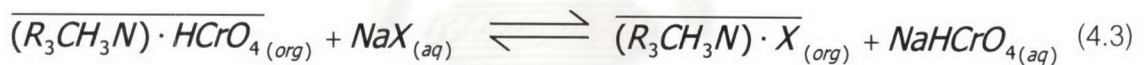
เมื่อความเป็นกรด-ต่างในสารละลายป้อนอยู่ในช่วง 1.5 ถึง 2.5 การสกัดโครเมียมจะมีค่าสูงขึ้น เนื่องจากสารสกัดที่ใช้ (อะลิควอด) เป็นสารสกัดชนิดเบส ซึ่งเมื่อสารละลายป้อนมีค่าความเป็นกรด-ต่างมากขึ้นจะส่งผลให้ความสามารถในการสกัดเพิ่มขึ้นเช่นกัน [Castillo et al., 2002]

ส่วนในกรณีที่มีความเป็นกรด-ด่างในสารละลายป้อนมีค่ามากกว่า 2.5 จะมีแนวโน้มการสกัดลดลง สามารถอธิบายได้จากสมการการสกัดด้วยสารสกัดอะลิควอดตั่งสมการ (4.2)



จากสมการ (4.2) จะเห็นว่าถ้าความเป็นกรด-ด่างเพิ่มขึ้น เป็นผลให้ค่า X หรือไฮดรอกไซด์ไอออนมีค่าเพิ่มขึ้นด้วย ทำให้ปฏิกิริยาการจะดำเนินย้อนกลับตามหลักเฮนรี หลุยส์ เลอชา เตอริเยร์ เกิดเป็นสารประกอบเชิงซ้อนระหว่างสารสกัดกับไอออนโครเมียมน้อยลงขึ้น ดังนั้นร้อยละการสกัดจึงลดลง นอกจากนี้เมื่อความเป็นกรด-ด่างเพิ่มขึ้นจะส่งผลให้ผลต่างความเป็นกรด-ด่างระหว่างสารละลายป้อนกับสารละลายสตริป (โซเดียมไฮดรอกไซด์) มีค่าน้อยลง แรงขับของกลไกการถ่ายเทมวลลดลง ดังนั้นค่าการสกัดจึงมีค่าลดลงด้วย

เมื่อพิจารณาผลของความแตกต่างในสารละลายป้อนที่มีต่อการนำกลับไอออนโครเมียมสามารถอธิบายด้วยปฏิกิริยาการนำกลับไอออนโครเมียมด้วยโซเดียมไฮดรอกไซด์ ดังสมการ (4.3)



จากสมการ (4.3) จะเห็นว่าสารประกอบเชิงซ้อนระหว่างสารสกัดกับไอออนโครเมียมจะมีผลต่อการนำกลับ ตามทฤษฎีของหลุยส์ เลอชาเตอริเยร์ ทำให้ร้อยละการนำกลับมีแนวโน้มเช่นเดียวกับการสกัด โดยในโมดูลเส้นใยกลวงคอลัมน์ที่สองค่าความเป็นกรด-ด่างในสารละลายป้อนที่เหมาะสมคือ 2.5 ซึ่งมีค่าร้อยละการสกัดและนำกลับเป็น 29.29 และ 24.24 ตามลำดับ

จากการทดลองข้างต้น จะเห็นว่าไอออนโลหะแต่ละชนิดจะมีการแตกตัวได้ดีในค่าความเป็นกรด-ด่างบางช่วงเท่านั้น ซึ่งจากการทดลองจะดำเนินการในช่วงความเป็นกรด-ด่างในสารละลายป้อน 1.5 ถึง 4 เท่านั้น เนื่องจากถ้าความเป็นกรด-ด่างมีค่ามากกว่า 4 ไอออนโลหะจะเกิดการตกตะกอน เมื่อพิจารณาผลการทดลองที่ได้ในโมดูลเส้นใยกลวงทั้งสองคอลัมน์พบว่า ความเป็นกรด-ด่างในสารละลายป้อนที่เหมาะสมในการดำเนินการทดลองคือ 2.5 นอกจากนี้ถ้าพิจารณาจากตารางที่ 4.1 ซึ่งแสดงค่าฟลักซ์ ค่าการซึมผ่าน และสัมประสิทธิ์การแยก จะเห็นว่าที่ความเป็นกรด-ด่าง 2.5 จะให้ค่าต่างๆ สูงสุด

ตารางที่ 4.1 ค่าสัมประสิทธิ์การแยกของโลหะเมื่อเปลี่ยนแปลงค่าความเป็นกรด-ด่างในสารละลายป้อน

ค่า pH	ฟลักซ์ (mol/m ² min)		การซึมผ่าน (m/min)		สัมประสิทธิ์การแยก		
	J _{Cu}	J _{Cr}	P _{Cu}	P _{Cr}	$\alpha_{Cu/Cr}$	$\alpha_{Cr/Cu}$	$\alpha_{(Cu\ or\ Cr)/Zn}$
1.5	0	2.06x10 ⁻⁵	0	1.24x10 ⁻⁵	0	∞	∞
2	0	2.47x10 ⁻⁵	0	1.46x10 ⁻⁵	0	∞	∞
2.5	1.57x10 ⁻⁵	3.98x10 ⁻⁵	9.43x10 ⁻⁶	2.09x10 ⁻⁵	0.45	2.22	∞
3	1.35x10 ⁻⁵	2.33x10 ⁻⁵	9.42x10 ⁻⁶	1.36x10 ⁻⁵	0.69	1.44	∞
3.5	1.57x10 ⁻⁵	1.92x10 ⁻⁵	9.01x10 ⁻⁶	1.09x10 ⁻⁵	0.83	1.21	∞
4	1.35x10 ⁻⁵	1.65x10 ⁻⁵	8.83x10 ⁻⁶	9.22x10 ⁻⁶	0.96	1.04	∞

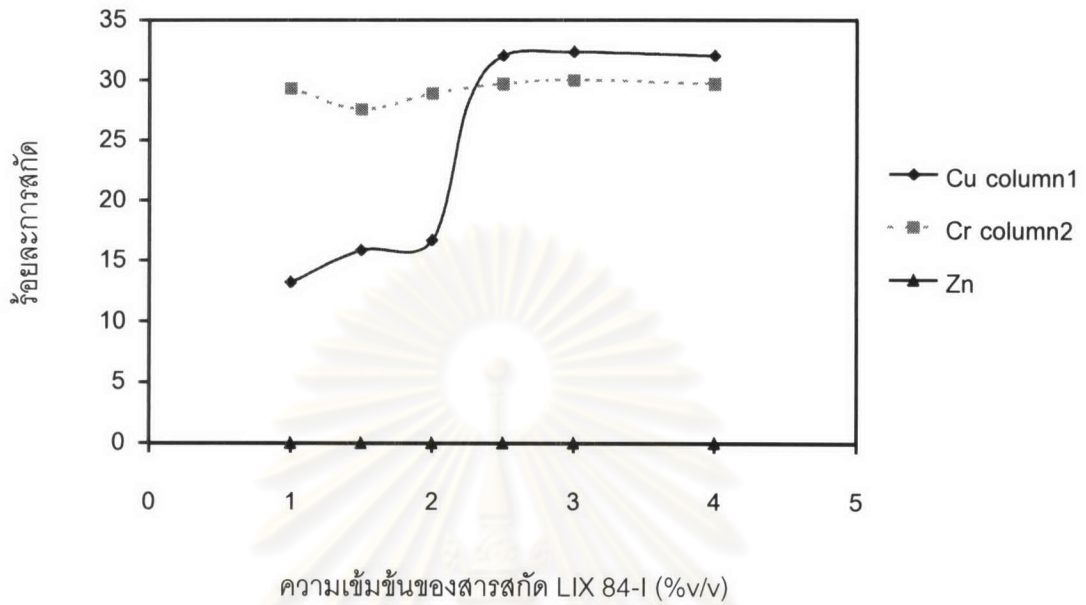
4.2 ผลของความเข้มข้นของสารสกัดที่ใช้สกัดโลหะ

การศึกษาปัจจัยเรื่องความเข้มข้นของสารสกัดนั้น ในงานวิจัยนี้จะเลือกใช้ปริมาณสารสกัดที่เหมาะสมในการดำเนินการโดยคำนึงถึงค่าร้อยละการสกัดและนำกลับโลหะที่ได้ นอกจากนี้ยังคำนึงถึงความเหมาะสมในเชิงเศรษฐศาสตร์อีกด้วย ความเข้มข้นของสารสกัดที่ศึกษามี 2 ชนิดคือสารสกัด LIX 84-I สำหรับการสกัดทองแดง และสารสกัดอะลิควอตสำหรับการสกัดโครเมียม ผลการศึกษาที่ได้แบ่งเป็น 2 ส่วน ดังนี้

4.2.1 ผลของความเข้มข้นของสารสกัด LIX 84-I ที่มีต่อการสกัดและนำกลับโลหะทองแดง

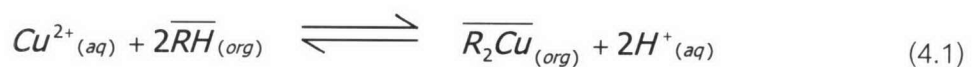
การทดลองเพื่อศึกษาผลของสารสกัด LIX 84-I ต่อการสกัดและนำกลับไอออนทองแดงทำได้โดยเปลี่ยนแปลงค่าความเข้มข้นสารสกัด LIX 84-I ในตัวทำละลายเคโรซีนที่บรรจุในโมดูลเส้นใยกลวงคอลัมน์ที่หนึ่งเป็น 1 1.5 2 2.5 3 และ 4 เปอร์เซ็นต์โดยปริมาตรตามลำดับ ส่วนปัจจัยอื่นๆ จะมีค่าคงที่ ดังนี้คือ ความเข้มข้นของโลหะแต่ละชนิดในสารละลายป้อน (ทองแดงโครเมียม และสังกะสี) มีค่า 100 ppm ความเป็นกรด-ด่างเป็น 2.5 (ค่าที่เหมาะสมจากหัวข้อ 4.1) โดยสารละลายสตริปสำหรับโมดูลเส้นใยกลวงคอลัมน์ที่หนึ่งคือ กรดซัลฟูริกความเข้มข้น 0.1 โมลต่อลิตร ส่วนโมดูลเส้นใยกลวงคอลัมน์ที่สองบรรจุสารสกัดอะลิควอตและโดเดคานอล (สารปรับปรุงคุณภาพ) เข้มข้น 1 และ 5 เปอร์เซ็นต์โดยปริมาตรตามลำดับ ละลายในตัวทำละลายเคโรซีนและใช้โซเดียมไฮดรอกไซด์เข้มข้น 0.5 โมลต่อลิตรเป็นสารละลายสตริป อัตราการไหลของสาร

ละลายป้อนและสารละลายสตริปมีค่า 100 มิลลิกรัมต่ออนาที รูปแบบการไหลเป็นแบบสวนทางกัน และไหลผ่านครั้งเดียว ผลการทดลองที่ได้แสดงดังรูปที่ 4.3 และ 4.4 ตามลำดับ



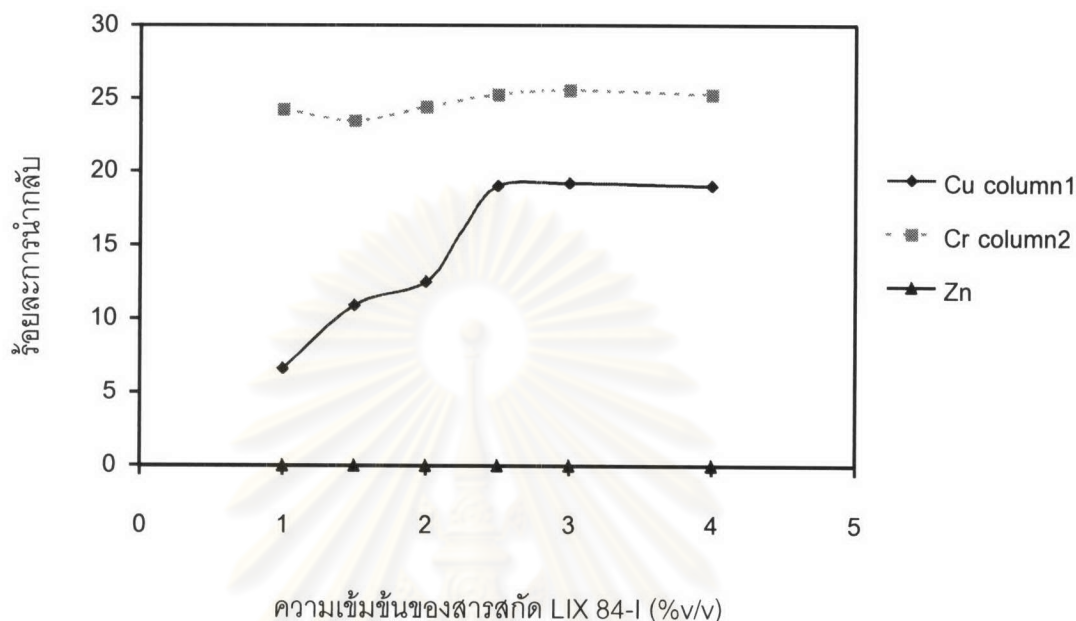
รูปที่ 4.3 ความสัมพันธ์ระหว่างความเข้มข้นของสารสกัด LIX 84-I ในคอลัมน์ที่หนึ่งกับร้อยละการสกัดไอออนทองแดง เมื่อ $[Cu^{2+}]_F = [HCrO_4^-]_F = [Zn^{2+}]_F = 100$ ppm, $pH_F = 2.5$, $[Aliquat]_{M2} = 1\%$ v/v, $[H_2SO_4]_{S1} = 0.1$ M, $[NaOH]_{S2} = 0.5$ M และ $Q_F = Q_S = 100$ มิลลิกรัมต่ออนาที

จากรูปที่ 4.3 และ 4.4 แสดงร้อยละการสกัดและน้ำหนักของไอออนทองแดง โครเมียม และสังกะสี เมื่อเปลี่ยนแปลงค่าสารสกัด LIX 84-I ในโมดูลเส้นใยกลวงคอลัมน์ที่หนึ่ง พบว่าร้อยละการสกัดและน้ำหนักของไอออนทองแดงในคอลัมน์ที่หนึ่งมีแนวโน้มสูงขึ้นเมื่อเพิ่มความเข้มข้นของสารสกัด LIX 84-I จาก 1 จนถึง 2.5 เปอร์เซ็นต์โดยปริมาตร และหลังจากนั้นจะมีค่าค่อนข้างคงที่ ส่วนโมดูลเส้นใยกลวงคอลัมน์ที่สองซึ่งสกัดไอออนโครเมียมด้วยสารสกัดอะลิควอตจะให้ค่าร้อยละการสกัดค่อนข้างคงที่ เนื่องจากให้ปัจจัยต่างๆ ในคอลัมน์ที่สองคงที่ สำหรับไอออนสังกะสีจะไม่เกิดการสกัดและน้ำหนักดังกล่าวไว้ข้างต้น ผลการทดลองอธิบายได้จากสมการ (4.1)



ในช่วงความเข้มข้นของสารสกัด LIX 84-I ในโมดูลเส้นใยกลวงคอลัมน์ที่หนึ่งมีค่า 1 ถึง 2.5 เปอร์เซ็นต์โดยปริมาตร พบว่าร้อยละการสกัดและน้ำหนักไอออนทองแดงมีแนวโน้มเพิ่มขึ้นเรื่อยๆ เนื่องจากสมการ (4.1) เมื่อความเข้มข้นสารสกัด (RH) มีค่าเพิ่มขึ้นจะทำให้ปฏิกิริยาดำเนิน

ไปข้างหน้ามากขึ้นตามทฤษฎีเฮนรี หลุยส์ เลอชาเตอริเยร์ เกิดการสกัดไอออนทองแดงมากขึ้น หรือก็คือเกิดสารประกอบเชิงซ้อนระหว่างสารสกัดกับไอออนทองแดงมากขึ้น ทำให้เกิดการนำกลับเพิ่มขึ้นเช่นกัน เนื่องจากการนำกลับเป็นปฏิกิริยาย้อนกลับของสมการ (4.1)



รูปที่ 4.4 ความสัมพันธ์ระหว่างความเข้มข้นของสารสกัด LIX 84-I ในคอลัมน์ที่หนึ่งกับร้อยละการนำกลับไอออนทองแดง เมื่อ $[Cu^{2+}]_F = [HCrO_4]_F = [Zn^{2+}]_F = 100$ ppm, $pH_F = 2.5$, $[Aliquat]_{M2} = 1\%$ v/v, $[H_2SO_4]_{S1} = 0.1$ M, $[NaOH]_{S2} = 0.5$ M และ $Q_F = Q_S = 100$ มิลลิลิตรต่อนาที

เมื่อความเข้มข้นของสารสกัด LIX 84-I มีค่ามากกว่า 2.5 เปอร์เซ็นต์โดยปริมาตร ค่าร้อยละการสกัดและนำกลับไอออนทองแดงจะมีค่าค่อนข้างคงที่ เนื่องจากเมื่อเพิ่มความเข้มข้นของสารสกัดจะส่งผลให้สารละลายเยื่อแผ่นเหลวมีความหนืดสูงขึ้น [Luccio et al., 2000] ทำให้ขวางกั้นการถ่ายเทมวลไอออนทองแดงจากสารละลายป้อนไปสู่สารละลายเยื่อแผ่นเหลว หรือก็คือจะส่งผลต่อค่าสัมประสิทธิ์การแพร่ (Diffusion coefficient, D) ของสารประกอบระหว่างสารสกัดกับไอออนโลหะที่ละลายในสารละลายเยื่อแผ่นเหลวให้มีค่าน้อยลง ดังสมการของ Nernst ดังนี้

$$D = \frac{RT}{6\Pi\eta r} \quad (4.4)$$

เมื่อ R คือระยะทางในการแพร่ T คืออุณหภูมิของสารละลาย Π คือ ค่าคงที่มีค่า 3.14 η คือความหนืดของสารละลาย และ r คือขนาดโมเลกุลของสารที่แพร่ผ่าน

นอกจากนี้สาเหตุที่ทำให้ความสามารถในการสกัดและนำกลับไอออนที่คงที่ อาจเนื่องมาจากขีดจำกัดของรูปพหุนจลภาคเส้นใยกลวง กล่าวคือเส้นใยกลวงนั้นสามารถบรรจุสารละลายเยื่อแผ่นเหลวได้ในปริมาณจำกัด จึงสอดคล้องกับผลการทดลองที่ว่า เมื่อเพิ่มสารสกัดในสารละลายเยื่อแผ่นเหลวมากขึ้น จะให้การถ่ายเทมวลที่เพิ่มขึ้นในอัตราที่ลดลงจนกระทั่งมีค่าเกือบคงที่ แสดงให้เห็นถึงขีดจำกัดในการถ่ายเทมวล ดังนั้นความเข้มข้นของสารสกัด LIX 84-I ที่จะพิจารณาเลือกใช้คือมีค่ามากกว่า 2.5 เปอร์เซ็นต์โดยปริมาตร

ตารางที่ 4.2 ค่าสัมประสิทธิ์การแยกของโลหะเมื่อเปลี่ยนแปลงค่าความเข้มข้นของสารสกัด LIX 84-I ในโมดูลเส้นใยกลวงคอลัมน์ที่หนึ่ง

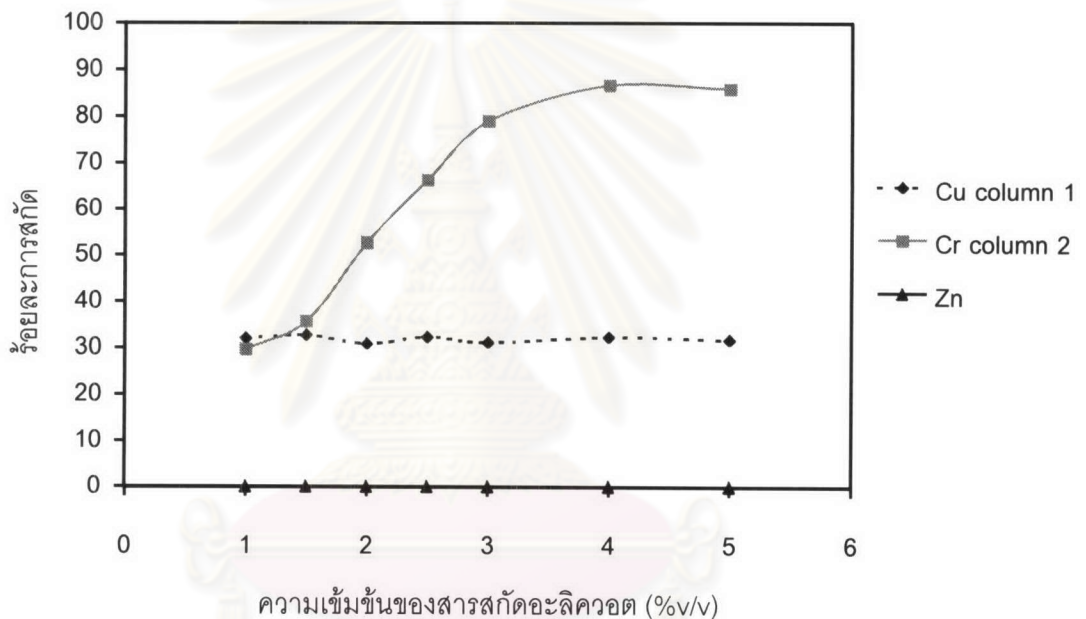
LIX 84-I (%v/v)	ฟลักซ์ (mol/m ² min)		การซึมผ่าน (m/min)		สัมประสิทธิ์การแยก	
	J _{Cu}	J _{Cr}	P _{Cu}	P _{Cr}	$\alpha_{Cu/Cr}$	$\alpha_{(Cu\ or\ Cr)/Zn}$
1	1.57x10 ⁻⁵	3.98x10 ⁻⁵	9.43x10 ⁻⁶	2.09x10 ⁻⁵	0.45	∞
1.5	1.80x10 ⁻⁵	3.71x10 ⁻⁵	1.13x10 ⁻⁵	1.97x10 ⁻⁵	0.57	∞
2	1.80x10 ⁻⁵	3.57x10 ⁻⁵	1.19x10 ⁻⁵	2.06x10 ⁻⁵	0.58	∞
2.5	3.60x10 ⁻⁵	3.71x10 ⁻⁵	2.29x10 ⁻⁵	2.11x10 ⁻⁵	1.08	∞
3	3.60x10 ⁻⁵	3.71x10 ⁻⁵	2.31x10 ⁻⁵	2.14x10 ⁻⁵	1.08	∞
4	3.60x10 ⁻⁵	3.71x10 ⁻⁵	2.29x10 ⁻⁵	2.11x10 ⁻⁵	1.08	∞

จากตารางที่ 4.2 จะเห็นว่าค่าฟลักซ์และค่าการเลือกผ่านของไอออนทองแดงจะมีค่าคงที่เมื่อความเข้มข้นของสารสกัด LIX 84-I มีค่ามากกว่า 2.5 เปอร์เซ็นต์โดยปริมาตร อันเนื่องมาจากขีดจำกัดในการถ่ายเทมวลดังกล่าวข้างต้น ซึ่งเมื่อพิจารณาผลร่วมกับค่าร้อยละการสกัดและนำกลับไอออนทองแดง และความคุ้มค่าในเชิงเศรษฐศาสตร์ ดังนั้นจึงเลือกใช้สารสกัด LIX 84-I ความเข้มข้น 2.5 เปอร์เซ็นต์โดยปริมาตรบรรจุในโมดูลเส้นใยกลวงคอลัมน์ที่หนึ่งเพื่อใช้ในการศึกษาต่อไป โดยจากผลการทดลองนี้มีค่าร้อยละการสกัดและนำกลับไอออนทองแดงเป็น 32 และ 19 ตามลำดับ

4.2.2 ผลของความเข้มข้นของสารสกัดอะลิควอตที่มีต่อการสกัดและนำกลับโลหะโครเมียม

การทดลองเพื่อศึกษาผลของสารสกัดอะลิควอตต่อการสกัดและนำกลับไอออนโครเมียมทำโดยการเปลี่ยนแปลงค่าความเข้มข้นของสารสกัดอะลิควอต (ใช้โดเดคคานอลความเข้มข้น 5 เปอร์เซ็นต์โดยปริมาตร) ละลายในตัวทำละลายเคโรซีนที่บรรจุในโมดูลเส้นใยกลวงคอลัมน์ที่หนึ่ง

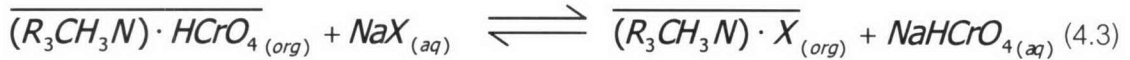
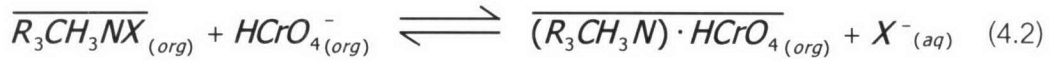
เป็น 1 1.5 2 2.5 3 4 และ 5 เปอร์เซ็นต์โดยปริมาตร ตามลำดับ ส่วนปัจจัยอื่นๆ จะมีค่าคงที่ ดังนี้คือ ความเข้มข้นของโลหะแต่ละชนิดในสารละลายป้อน (ทองแดง โครเมียม และสังกะสี) มีค่า 100 ppm ความเป็นกรด-ด่างเป็น 2.5 โดยโมดูลเส้นใยกลวงคอลัมน์ที่หนึ่งบรรจุสารสกัด LIX 84-I ความเข้มข้น 2.5 เปอร์เซ็นต์โดยปริมาตร (ค่าที่เหมาะสมจากหัวข้อ 4.2.1) ละลายในตัวทำละลายเคโรซีน และใช้กรดซัลฟูริกความเข้มข้น 0.1 โมลต่อลิตรเป็นสารละลายสตริป ส่วนสารละลายสตริปสำหรับโมดูลเส้นใยกลวงคอลัมน์ที่สองเป็นโซเดียมไฮดรอกไซด์เข้มข้น 0.5 โมลต่อลิตร อัตราการไหลของสารละลายป้อนและสารละลายสตริปมีค่า 100 มิลลิลิตรต่อนาที รูปแบบการไหลเป็นแบบสวนทางกันและไหลผ่านครั้งเดียว ผลการทดลองที่ได้แสดงดังรูปที่ 4.5 และ 4.6 ตามลำดับ



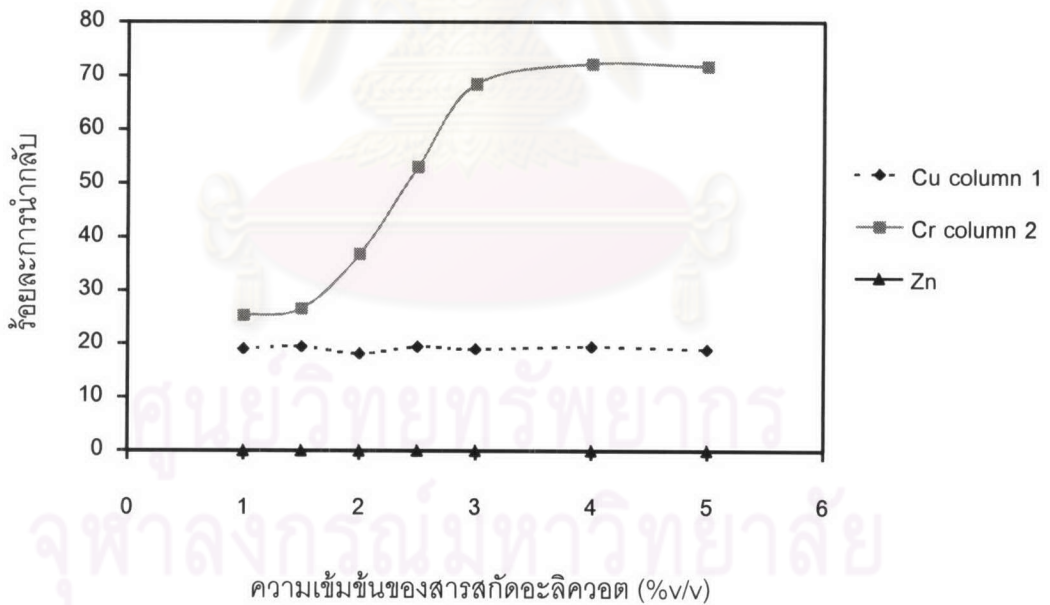
รูปที่ 4.5 ความสัมพันธ์ระหว่างความเข้มข้นของสารสกัดอะลิควอตในคอลัมน์ที่สองกับร้อยละการสกัดไอออนโครเมียม เมื่อ $[Cu^{2+}]_F = [HCrO_4]_F = [Zn^{2+}]_F = 100$ ppm, $pH_F = 2.5$, $[LIX\ 84-I]_{M1} = 2.5\%v/v$, $[H_2SO_4]_{S1} = 0.1$ M, $[NaOH]_{S2} = 0.5$ M และ $Q_F = Q_S = 100$ มิลลิลิตรต่อนาที

จากรูปที่ 4.5 และ 4.6 แสดงร้อยละการสกัดและนำกลับไอออนทองแดง โครเมียม และสังกะสี เมื่อเปลี่ยนแปลงค่าสารสกัดอะลิควอตในโมดูลเส้นใยกลวงคอลัมน์ที่สอง ค่าร้อยละการสกัดและนำกลับไอออนทองแดงด้วยสารสกัด LIX 84-I ในโมดูลเส้นใยกลวงคอลัมน์ที่หนึ่งจะมีค่าค่อนข้างคงที่ เนื่องจากให้ปัจจัยต่างๆ ในคอลัมน์ที่หนึ่งคงที่ ส่วนร้อยละการสกัดและนำกลับไอออนโครเมียมด้วยสารสกัดอะลิควอตในโมดูลเส้นใยกลวงคอลัมน์ที่สอง จะมีแนวโน้มสูงขึ้นเมื่อเพิ่มความเข้มข้นของสารสกัดอะลิควอตจาก 1 จนถึง 4 เปอร์เซ็นต์โดยปริมาตร และหลังจากนั้นจะ

มีค่าค่อนข้างคงที่ สำหรับไอออนสังกะสีจะไม่เกิดการสกัดและนำกลับได้ดังกล่าวข้างต้น ผลการทดลองสามารถอธิบายได้โดยสมการการสกัดและนำกลับ (4.2) และ (4.3) ตามลำดับ



ในช่วงความเข้มข้นของสารสกัดอะลิควอตในโมดูลเส้นใยกลวงคอลัมน์ที่สองมีค่า 1 ถึง 4 เปอร์เซ็นต์โดยปริมาตร พบว่าร้อยละการสกัดและนำกลับไอออนโครเมียมมีแนวโน้มสูงขึ้นเรื่อยๆ เนื่องจากเมื่อพิจารณาจากสมการ (4.2) เมื่อสารสกัด (R_3CH_3NX) มากขึ้นจะส่งผลให้ปฏิกิริยาดำเนินไปข้างหน้ามากขึ้นตามทฤษฎีของเฮนรี หลุยส์ เลอชาเตอลีเยร์ เกิดการสกัดไอออนโครเมียมมากขึ้น หรือก็คือเกิดสารประกอบเชิงซ้อนระหว่างสารสกัดกับไอออนโครเมียม ($(R_3CH_3N)HCrO_4$) มากขึ้น ซึ่งเมื่อพิจารณาการนำกลับด้วยสมการ (4.3) ถ้าสารประกอบเชิงซ้อนนี้มากขึ้นจะเกิดการนำกลับมากขึ้นเช่นกัน



รูปที่ 4.6 ความสัมพันธ์ระหว่างความเข้มข้นของสารสกัดอะลิควอตในคอลัมน์ที่สองกับร้อยละการนำกลับไอออนโครเมียม เมื่อ $[Cu^{2+}]_F = [HCrO_4^-]_F = [Zn^{2+}]_F = 100$ ppm, $pH_F = 2.5$, $[LIX\ 84-I]_{M1} = 2.5\%$ v/v, $[H_2SO_4]_{S1} = 0.1$ M, $[NaOH]_{S2} = 0.5$ M และ $Q_F = Q_S = 100$ มิลลิลิตรต่อนาที

เมื่อความเข้มข้นของสารสกัดอะลิควอตมีค่ามากกว่า 4 เปอร์เซ็นต์โดยปริมาตร จะให้ค่าร้อยละการสกัดและนำกลับค่อนข้างคงที่ เนื่องจากเมื่อเพิ่มความเข้มข้นของสารสกัดจะส่งผลให้สารละลายเยื่อแผ่นเหลวมีความหนืดสูงขึ้น โดยเฉพาะอย่างยิ่งสำหรับสารสกัดอะลิควอตนั้นเป็นสารสกัดชนิดเบส (พวกเอมีน) ซึ่งสามารถเกิดการรวมตัวกันเองเกิดเป็นวิภาคที่สามขึ้นมาขัดขวางการถ่ายเทมวล ดังที่กล่าวในหัวข้อ 2.3.1 แม้ว่าในที่นี้จะมีการใช้สารปรับปรุงคุณภาพ (โคเดคคานอลเข้มข้น 5 เปอร์เซ็นต์โดยปริมาตร) ในทุกๆ การทดลอง แต่เมื่อความเข้มข้นสารสกัดมากขึ้น ปริมาณสารปรับปรุงคุณภาพที่ใช้นี้อาจไม่เพียงพอต่อการขัดขวางการเกิดวิภาคที่สามได้ และอาจมีเหตุผลอื่นๆ ร่วมด้วยดังกล่าวในหัวข้อ 4.2.1 ดังนั้นถ้าพิจารณาเฉพาะค่าร้อยละการสกัดและนำกลับจะเห็นว่าความเข้มข้นของสารสกัดอะลิควอตที่จะพิจารณาเลือกใช้คือมีค่ามากกว่า 4 เปอร์เซ็นต์โดยปริมาตร

ตารางที่ 4.3 ค่าสัมประสิทธิ์การแยกของโลหะเมื่อเปลี่ยนแปลงค่าความเข้มข้นของสารสกัดอะลิควอตในโมดูลเส้นใยลวงคอลัมน์ที่สอง

Aliquat (%v/v)	ฟลักซ์ (mol/m ² min)		การซึมผ่าน (m/min)		สัมประสิทธิ์การแยก	
	J _{Cu}	J _{Cr}	P _{Cu}	P _{Cr}	$\alpha_{Cr/Cu}$	$\alpha_{(Cu\ or\ Cr)/Zn}$
1	3.60x10 ⁻⁵	3.71x10 ⁻⁵	2.28x10 ⁻⁵	2.12x10 ⁻⁵	0.93	∞
1.5	3.60x10 ⁻⁵	4.81x10 ⁻⁵	2.33x10 ⁻⁵	2.55x10 ⁻⁵	1.09	∞
2	3.26x10 ⁻⁵	6.87x10 ⁻⁵	2.20x10 ⁻⁵	3.76x10 ⁻⁵	1.71	∞
2.5	3.37x10 ⁻⁵	8.93x10 ⁻⁵	2.30x10 ⁻⁵	4.74x10 ⁻⁵	2.06	∞
3	3.15x10 ⁻⁵	1.03x10 ⁻⁴	2.22x10 ⁻⁵	5.64x10 ⁻⁵	2.54	∞
4	3.37x10 ⁻⁵	1.15x10 ⁻⁴	2.30x10 ⁻⁵	6.18x10 ⁻⁵	2.69	∞
5	3.6x10 ⁻⁵	1.08x10 ⁻⁴	2.26x10 ⁻⁵	6.13x10 ⁻⁵	2.71	∞

จากตารางที่ 4.3 จะเห็นว่าค่าฟลักซ์และค่าการเลือกผ่านของไอออนโครเมียมจะมีค่าเพิ่มขึ้นเรื่อยๆ จนมีค่าสูงสุดเมื่อความเข้มข้นของสารสกัดอะลิควอตในโมดูลเส้นใยลวงคอลัมน์ที่สองเป็น 4 เปอร์เซ็นต์โดยปริมาตร และหลังจากนั้นจะมีค่าลดลง ซึ่งเมื่อพิจารณาผลร่วมกับค่าร้อยละการสกัดและนำกลับไอออนโครเมียมและความคุ้มค่าในเชิงเศรษฐศาสตร์ ดังนั้นจึงเลือกใช้สารสกัดอะลิควอตความเข้มข้น 4 เปอร์เซ็นต์โดยปริมาตรบรรจุในโมดูลเส้นใยลวงคอลัมน์ที่สอง จากผลการทดลองค่าร้อยละการสกัดและนำกลับไอออนโครเมียมเป็น 86.60 และ 72.16 ตามลำดับ

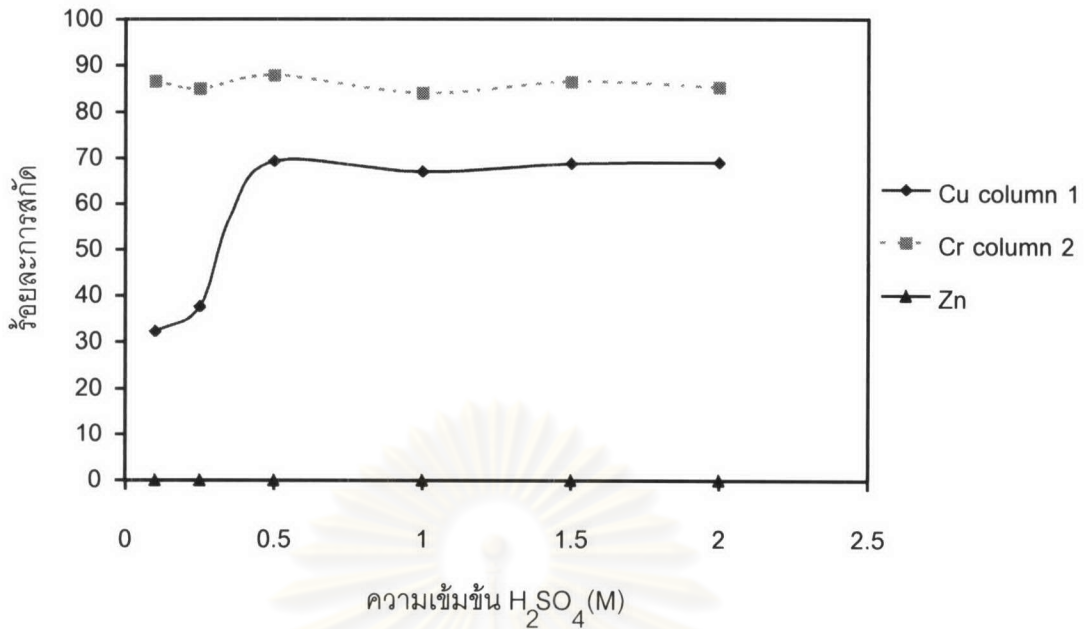
4.3 ผลของความเข้มข้นของสารละลายสไตรีนในการนำกลับโลหะ

การศึกษาปัจจัยของความเข้มข้นของสารละลายสไตรีนจะใช้ข้อมูลจากผลการทดลองของสารสกัดข้างต้น โดยเลือกใช้ปริมาณสารสกัดทั้งสองชนิดที่ทำให้เกิดค่าร้อยละการสกัดสูงสุด และนำมาศึกษาถึงความเข้มข้นของสารละลายสไตรีนที่มีต่อการนำกลับ ซึ่งยังคงแบ่งการสกัดและนำกลับเป็นสองโมดูลเช่นเดิม ดังนี้

4.3.1 ผลของความเข้มข้นของสารละลายสไตรีนกรดซัลฟูริกในการนำกลับโลหะทองแดง

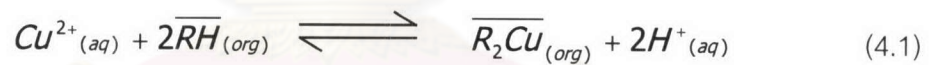
การทดลองเพื่อศึกษาผลของสารละลายสไตรีนกรดซัลฟูริกในโมดูลเส้นใยกลวงที่หนึ่ง ทำโดยการเปลี่ยนแปลงค่าความเข้มข้นของสารละลายสไตรีนเป็น 0.1 0.25 0.5 1 1.5 และ 2 โมลต่อลิตรตามลำดับ ส่วนปัจจัยอื่นๆ จะมีค่าคงที่ ดังนี้คือ ความเข้มข้นของโลหะแต่ละชนิดในสารละลายป้อน (ทองแดง โคโรเมียม และสังกะสี) มีค่า 100 ppm ความเป็นกรด-ด่างเป็น 2.5 โดยโมดูลเส้นใยกลวงคอลัมน์ที่หนึ่งบรรจุสารสกัด LIX 84-I ความเข้มข้น 2.5 เปอร์เซ็นต์โดยปริมาตร (ค่าที่เหมาะสมจากหัวข้อ 4.2.1) ละลายในตัวทำละลายเคโรซีน ส่วนโมดูลเส้นใยกลวงคอลัมน์ที่สองบรรจุสารสกัดอะลิควอตและโดเดคคานอล (สารปรับปรุงคุณภาพ) เข้มข้น 4 และ 5 เปอร์เซ็นต์โดยปริมาตรตามลำดับ (ค่าที่เหมาะสมจากหัวข้อ 4.2.2) ละลายในตัวทำละลายเคโรซีน และใช้ไซเตียมไฮดรอกไซด์เข้มข้น 0.5 โมลต่อลิตรเป็นสารละลายสไตรีน อัตราการไหลของสารละลายป้อนและสารละลายสไตรีนมีค่า 100 มิลลิลิตรต่ออนาที รูปแบบการไหลเป็นแบบสวนทางกันและไหลผ่านครั้งเดียว ผลการทดลองที่ได้แสดงดังรูปที่ 4.7 และ 4.8 ตามลำดับ

จากรูปที่ 4.7 และ 4.8 แสดงผลของความเข้มข้นของสารละลายสไตรีนกรดซัลฟูริกที่มีต่อการสกัดและนำกลับไอออนทองแดงในโมดูลเส้นใยกลวงคอลัมน์ที่หนึ่ง ซึ่งแนวโน้มของร้อยละการสกัดและนำกลับเป็นไปเช่นเดียวกัน โดยเมื่อเพิ่มความเข้มข้นของสารละลายกรดซัลฟูริกจาก 0.1 จนถึง 0.5 โมลต่อลิตร พบว่าค่าร้อยละการสกัดและนำกลับไอออนทองแดงมีแนวโน้มเพิ่มสูงขึ้น และหลังจากนั้นจะมีค่าค่อนข้างคงที่ ส่วนค่าร้อยละการสกัดและนำกลับไอออนโคโรเมียมด้วยสารสกัดอะลิควอตในโมดูลเส้นใยกลวงคอลัมน์ที่สองมีค่าค่อนข้างคงที่โดยเปลี่ยนแปลงในช่วงแคบๆ เนื่องจากให้ปัจจัยต่างๆ ในคอลัมน์ที่สองคงที่ และสำหรับไอออนสังกะสีจะไม่เกิดการสกัดและนำกลับดังกล่าวไว้ข้างต้น



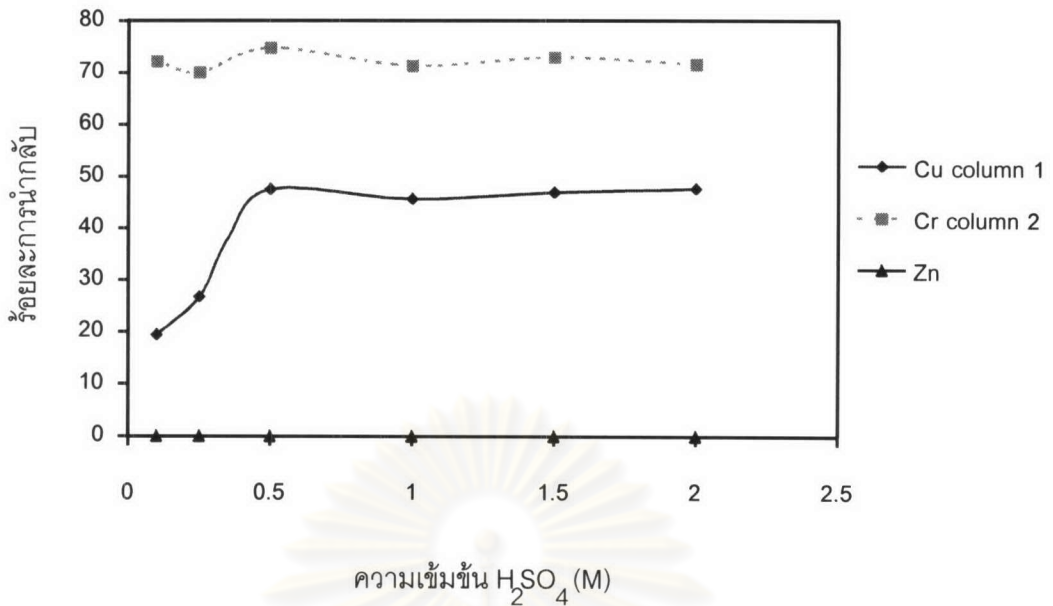
รูปที่ 4.7 ความสัมพันธ์ระหว่างความเข้มข้นของสารละลายสไตริปรดซัลฟูริกในคอลัมน์ที่หนึ่งกับร้อยละการสกัดไอออนทองแดง เมื่อ $[Cu^{2+}]_F = [HCrO_4^-]_F = [Zn^{2+}]_F = 100$ ppm, $pH_F = 2.5$, $[LIX\ 84-I]_{M1} = 2.5\%v/v$, $[Aliquat]_{M2} = 4\%v/v$, $[NaOH]_{S2} = 0.5$ M และ $Q_F = Q_S = 100$ มิลลิลิตรต่ออนาที

ผลการทดลองที่เกิดขึ้นสามารถอธิบายโดยสมการ (4.1)



ในช่วงความเข้มข้นของสารละลายสไตริปรดซัลฟูริกในโมดูลเส้นใยกลวงคอลัมน์ที่หนึ่งมีค่า 0.1 ถึง 0.5 โมลต่อลิตร พบว่าร้อยละการสกัดและนำกลับไอออนทองแดงมีแนวโน้มเพิ่มสูงขึ้น โดยถ้าพิจารณาจากปฏิกิริยาย้อนกลับของสมการ (4.1) ซึ่งคือปฏิกิริยาการนำกลับไอออนทองแดง เมื่อความเข้มข้นของกรดซัลฟูริกเพิ่มขึ้น ค่าไฮโดรเนียมไอออน (H^+) ก็จะมีค่าเพิ่มขึ้น ทำให้ปฏิกิริยาเกิดการนำกลับเพิ่มขึ้น ซึ่งจะส่งผลโดยตรงต่อการเกิดปฏิกิริยาการสกัด อาจกล่าวได้ว่าการนำกลับที่ดีจะสไตริปรไอออนทองแดงออกจากเยื่อแผ่นเหลวได้ดี ทำให้สารสกัดสามารถสกัดไอออนทองแดงในฝั่งของสารละลายป้อนได้อย่างมีประสิทธิภาพด้วย

เมื่อความเข้มข้นของสารละลายสไตริปรดซัลฟูริกมีค่ามากกว่า 0.5 โมลต่อลิตร พบว่าร้อยละการสกัดและนำกลับไอออนทองแดงมีแนวโน้มคงที่ เนื่องจากพื้นที่ในการถ่ายเทมวลของโมดูลเส้นใยกลวงมีค่าคงที่ จึงมีอัตราการถ่ายเทมวลที่จำกัด พิสูจน์ได้จากค่าฟลักซ์และค่าการซึมผ่านจากตารางที่ 4.4



รูปที่ 4.8 ความสัมพันธ์ระหว่างความเข้มข้นของสารละลายสตริปกรดซัลฟูริกในคอลัมน์ที่หนึ่งกับร้อยละการนำกลับของแดง เมื่อ $[Cu^{2+}]_F = [HCrO_4^-]_F = [Zn^{2+}]_F = 100$ ppm, $pH_F = 2.5$, $[LIX\ 84-I]_{M1} = 2.5\%$ v/v, $[Aliquat]_{M1} = 4\%$ v/v, $[NaOH]_{S2} = 0.5$ M และ $Q_F = Q_S = 100$ มิลลิลิตรต่อนาที

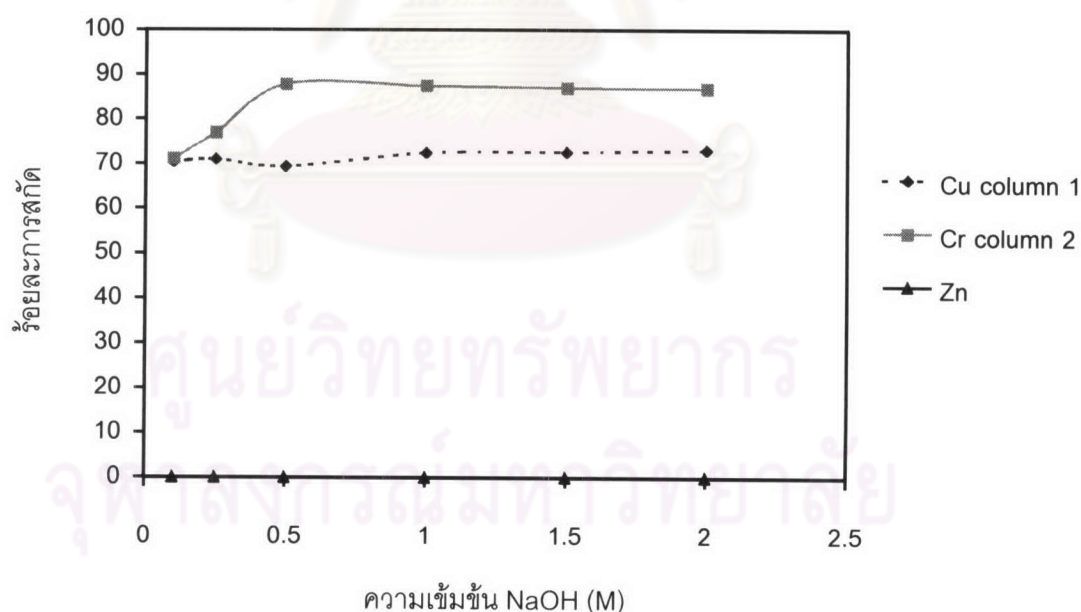
จากตารางที่ 4.4 จะเห็นว่าค่าฟลักซ์และค่าการเลือกผ่านของไอออนทองแดงมีค่าสูงขึ้นเรื่อยๆ เมื่อเพิ่มความเข้มข้นของสารละลายกรดซัลฟูริกจาก 0.1 จนถึง 0.5 โมลต่อลิตร หลังจากนั้นจะมีการเปลี่ยนแปลงในช่วงแคบๆ ดังนั้นเมื่อพิจารณาจากตารางที่ 4.4 ร่วมกับค่าร้อยละการสกัดและนำกลับของไอออนทองแดงจากรูปที่ 4.7 และ 4.8 พบว่าความเข้มข้นของสารละลายกรดซัลฟูริกที่เหมาะสมในการใช้ศึกษาปัจจัยอื่นต่อไปคือ 0.5 โมลต่อลิตร โดยให้ค่าร้อยละการสกัดและนำกลับไอออนทองแดงเป็น 69.31 และ 47.52 ตามลำดับ

ตารางที่ 4.4 ค่าสัมประสิทธิ์การแยกของโลหะเมื่อเปลี่ยนแปลงค่าความเข้มข้นของสารละลายสตริปกรดซัลฟูริกในโมดูลเส้นใยกลวงคอลัมน์ที่หนึ่ง

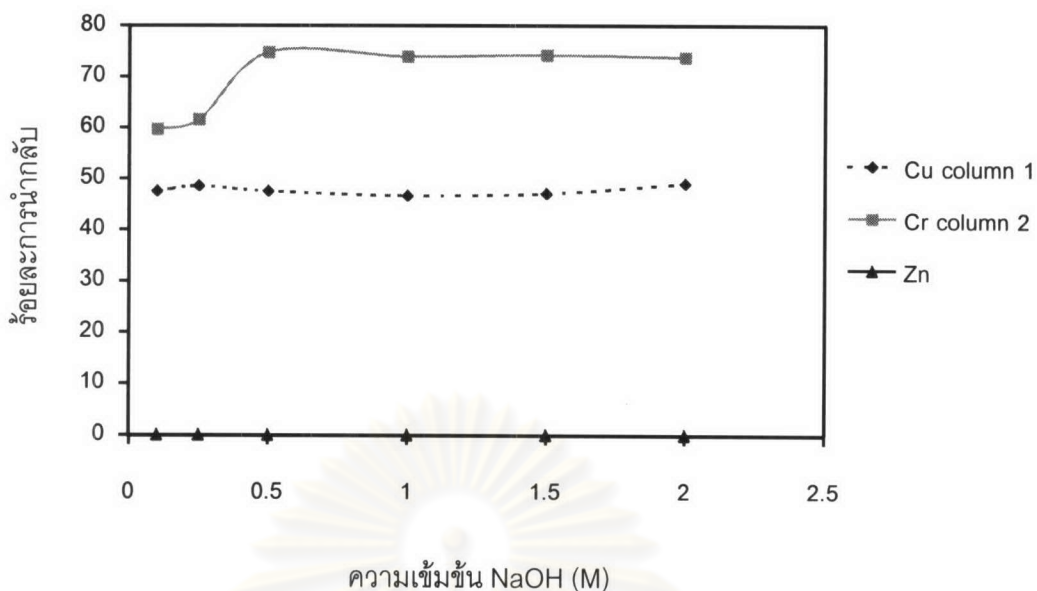
H ₂ SO ₄ (M)	ฟลักซ์ (mol/m ² min)		การซึมผ่าน (m/min)		สัมประสิทธิ์การแยก	
	J _{Cu}	J _{Cr}	P _{Cu}	P _{Cr}	α _{Cu/Cr}	α _{(Cu or Cr)/Zn}
0.1	3.37×10 ⁻⁵	1.15×10 ⁻⁴	2.30×10 ⁻⁵	6.19×10 ⁻⁵	0.37	∞
0.25	4.27×10 ⁻⁵	1.17×10 ⁻⁴	2.69×10 ⁻⁵	6.07×10 ⁻⁵	0.44	∞
0.5	7.87×10 ⁻⁵	1.19×10 ⁻⁴	4.95×10 ⁻⁵	6.28×10 ⁻⁵	0.79	∞
1	7.75×10 ⁻⁵	1.08×10 ⁻⁴	4.78×10 ⁻⁵	6.00×10 ⁻⁵	0.80	∞
1.5	7.42×10 ⁻⁵	1.14×10 ⁻⁴	4.91×10 ⁻⁵	6.17×10 ⁻⁵	0.79	∞
2	7.98×10 ⁻⁵	1.12×10 ⁻⁴	4.92×10 ⁻⁵	6.09×10 ⁻⁵	0.8	∞

4.3.2 ผลของความเข้มข้นของสารละลายสไตริโซเดียมไฮดรอกไซด์ในการนำกลับโลหะโครเมียม

การทดลองเพื่อศึกษาผลของสารละลายสไตริโซเดียมไฮดรอกไซด์ในโมดูลเส้นใยกลวงที่สอง ทำโดยการเปลี่ยนแปลงค่าความเข้มข้นของสารละลายสไตริโซเดียมเป็น 0.1 0.25 0.5 1 1.5 และ 2 โมลต่อลิตรตามลำดับ ส่วนปัจจัยอื่นๆ จะมีค่าคงที่ ดังนี้คือ ความเข้มข้นของโลหะแต่ละชนิดในสารละลายป้อน (ทองแดง โครเมียม และสังกะสี) มีค่า 100 ppm ความเป็นกรด-ด่างเป็น 2.5 (ค่าที่เหมาะสมจากหัวข้อ 4.1) โดยโมดูลเส้นใยกลวงคอลัมน์ที่หนึ่งบรรจุสารสกัด LIX 84-I ความเข้มข้น 2.5 เปอร์เซ็นต์โดยปริมาตร (ค่าที่เหมาะสมจากหัวข้อ 4.2.1) ละลายในตัวทำละลายเคโรซีน และใช้กรดซัลฟูริกความเข้มข้น 0.5 โมลต่อลิตรเป็นสารละลายสไตริโซเดียม (ค่าที่เหมาะสมจากหัวข้อ 4.3.1) ส่วนโมดูลเส้นใยกลวงคอลัมน์ที่สองบรรจุสารสกัดอะลิควอตและโดเดคคานอล (สารปรับปรุงคุณภาพ) เข้มข้น 4 และ 5 เปอร์เซ็นต์โดยปริมาตรตามลำดับ (ค่าที่เหมาะสมจากหัวข้อ 4.2.2) ละลายในตัวทำละลายเคโรซีน อัตราการไหลของสารละลายป้อนและสารละลายสไตริโซเดียมมีค่า 100 มิลลิลิตรต่อนาที รูปแบบการไหลเป็นแบบสวนทางกันและไหลผ่านครั้งเดียว ผลการทดลองที่ได้แสดงดังรูปที่ 4.9 และ 4.10 ตามลำดับ



รูปที่ 4.9 ความสัมพันธ์ระหว่างความเข้มข้นของสารละลายสไตริโซเดียมไฮดรอกไซด์ในคอลัมน์ที่สองกับร้อยละการสกัดไอออนโครเมียม เมื่อ $[Cu^{2+}]_F = [HCrO_4]_F = [Zn^{2+}]_F = 100$ ppm, $pH_F = 2.5$, $[LIX\ 84-I]_{M1} = 2.5\%v/v$, $[Aliquat]_{M1} = 4\%v/v$, $[H_2SO_4]_{S1} = 0.5$ M และ $Q_F = Q_S = 100$ มิลลิลิตรต่อนาที



รูปที่ 4.10 ความสัมพันธ์ระหว่างความเข้มข้นของสารละลายสไตริโซเดียมไฮดรอกไซด์ในคอลัมน์ที่สองกับร้อยละการนำกลับไอออนโครเมียม เมื่อ $[Cu^{2+}]_F = [HCrO_4^-]_F = [Zn^{2+}]_F = 100$ ppm, $pH_F = 2.5$, $[LIX\ 84-I]_{M1} = 2.5\%v/v$, $[Aliquat]_{M1} = 4\%v/v$, $[H_2SO_4]_{S1} = 0.5$ M และ $Q_F = Q_S = 100$ มิลลิลิตรต่อนาที

จากรูปที่ 4.9 และ 4.10 แสดงผลของความเข้มข้นของสารละลายสไตริโซเดียมไฮดรอกไซด์ที่มีต่อการสกัดและนำกลับไอออนโครเมียมในโมดูลเส้นใยกลวงคอลัมน์ที่สอง ซึ่งแนวโน้มของร้อยละการสกัดและนำกลับเป็นไปเช่นเดียวกัน โดยค่าร้อยละการสกัดและนำกลับไอออนทองแดงด้วยสารสกัด LIX 84-I ในโมดูลเส้นใยกลวงคอลัมน์ที่หนึ่ง มีค่าค่อนข้างคงที่โดยเปลี่ยนแปลงในช่วงแคบๆ เนื่องจากให้ปัจจัยต่างๆ ในคอลัมน์ที่หนึ่งคงที่ ส่วนโมดูลเส้นใยกลวงคอลัมน์ที่สองเมื่อเพิ่มความเข้มข้นของสารละลายโซเดียมไฮดรอกไซด์จาก 0.1 จนถึง 0.5 โมลต่อลิตร พบว่าค่าร้อยละการสกัดและนำกลับไอออนโครเมียมมีแนวโน้มเพิ่มสูงขึ้น และหลังจากนั้นจะมีค่าค่อนข้างคงที่สำหรับไอออนสังกะสีจะไม่เกิดการสกัดและนำกลับดังกล่าวไว้ข้างต้น ผลการทดลองที่เกิดขึ้นสามารถอธิบายโดยใช้สมการ (4.3)



ในช่วงความเข้มข้นของสารละลายโซเดียมไฮดรอกไซด์ในโมดูลเส้นใยกลวงคอลัมน์ที่สองมีค่า 0.1 ถึง 0.5 โมลต่อลิตร พบว่าร้อยละการสกัดและนำกลับของไอออนโครเมียมมีแนวโน้มเพิ่มสูงขึ้น โดยถ้าพิจารณาจากปฏิกิริยาการนำกลับจากสมการ (4.3) จะเห็นว่าเมื่อความเข้มข้นของ

โซเดียมไฮดรอกไซด์สูงขึ้น ทำให้เกิดปฏิกิริยาไปข้างหน้ามากขึ้น หรือการนำกลับมากขึ้นนั่นเอง ซึ่งการนำกลับที่ดีขึ้นนี้จะส่งผลต่อการสกัด เป็นผลให้การสกัดมีค่าสูงขึ้นตามไปด้วย

เมื่อความเข้มข้นของสารละลายสไตริโซเดียมไฮดรอกไซด์มีค่ามากกว่า 0.5 โมลต่อลิตร พบว่าร้อยละการสกัดและนำกลับไอออนโครเมียมมีแนวโน้มคงที่ เนื่องจากพื้นที่ในการถ่ายเทมวลของโมดูลเส้นใยกลวงมีค่าคงที่ จึงมีอัตราการถ่ายเทมวลที่จำกัด พิสูจน์ได้จากค่าฟลักซ์และค่าการซึมผ่านจากตารางที่ 4.5

ตารางที่ 4.5 ค่าสัมประสิทธิ์การแยกของโลหะเมื่อเปลี่ยนแปลงค่าความเข้มข้นของสารละลายสไตริโซเดียมไฮดรอกไซด์ในโมดูลเส้นใยกลวงคอลัมน์ที่สอง

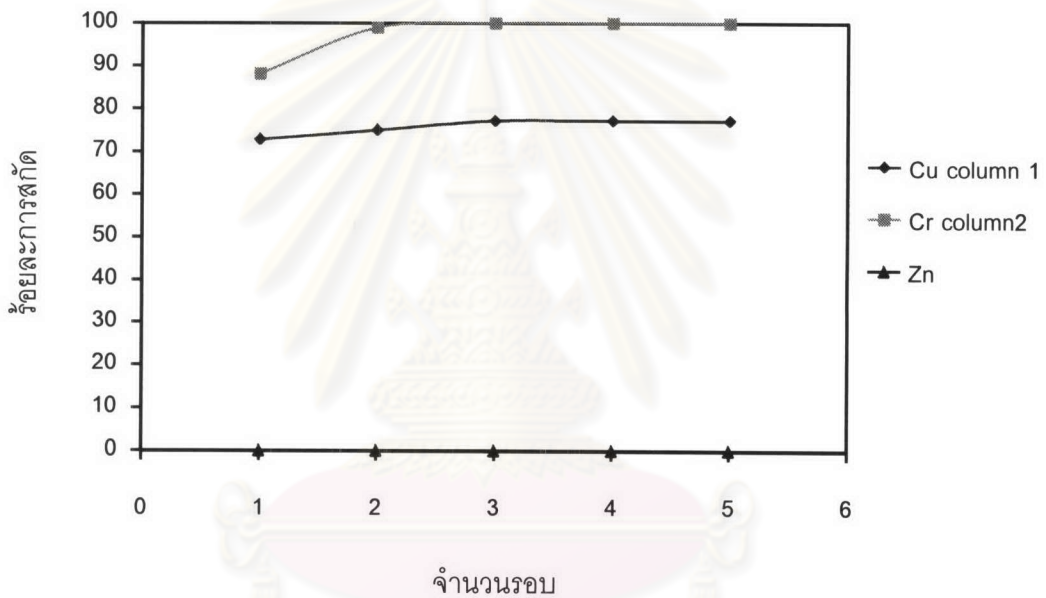
NaOH (M)	ฟลักซ์ (mol/m ² min)		การซึมผ่าน (m/min)		สัมประสิทธิ์การแยก	
	J _{Cu}	J _{Cr}	P _{Cu}	P _{Cr}	$\alpha_{Cr/Cu}$	$\alpha_{(Cu\ or\ Cr)/Zn}$
0.1	7.98x10 ⁻⁵	1.02x10 ⁻⁴	5.02x10 ⁻⁵	5.08x10 ⁻⁵	1.01	∞
0.25	8.20x10 ⁻⁵	1.10x10 ⁻⁴	5.06x10 ⁻⁵	5.49x10 ⁻⁵	1.08	∞
0.5	7.87x10 ⁻⁵	1.19x10 ⁻⁴	4.95x10 ⁻⁵	6.28x10 ⁻⁵	1.27	∞
1	8.54x10 ⁻⁵	1.15x10 ⁻⁴	5.17x10 ⁻⁵	6.25x10 ⁻⁵	1.21	∞
1.5	8.32x10 ⁻⁵	1.11x10 ⁻⁴	5.18x10 ⁻⁵	6.22x10 ⁻⁵	1.20	∞
2	8.20x10 ⁻⁵	1.18x10 ⁻⁴	5.21x10 ⁻⁵	6.20x10 ⁻⁵	1.19	∞

จากตารางที่ 4.5 จะเห็นว่าค่าฟลักซ์และค่าการเลือกผ่านของไอออนโครเมียมมีค่าสูงขึ้นเรื่อยๆ เมื่อเพิ่มความเข้มข้นของสารละลายโซเดียมไฮดรอกไซด์จาก 0.1 จนถึง 0.5 โมลต่อลิตร หลังจากนั้นจะมีการเปลี่ยนแปลงในช่วงแคบๆ ดังนั้นเมื่อพิจารณาค่าจากตารางที่ 4.5 ร่วมกับค่าร้อยละการสกัดและนำกลับของไอออนทองแดงจากรูปที่ 4.9 และ 4.10 พบว่าความเข้มข้นของสารละลายโซเดียมไฮดรอกไซด์ที่เหมาะสมในการใช้ศึกษาปัจจัยอื่นต่อไปคือ 0.5 โมลต่อลิตร โดยให้ค่าร้อยละการสกัดและนำกลับไอออนโครเมียมเป็น 87.88 และ 74.75 ตามลำดับ

4.4 ผลของจำนวนรอบในการผ่านโมดูลเส้นใยกลวงที่มีต่อการสกัดและนำกลับโลหะ

การทดลองเพื่อศึกษาผลของจำนวนรอบในการผ่านโมดูลเส้นใยกลวง ทำโดยนำสารละลายป้อนและสารละลายสไตริโซเดียมออกกลับมาไหลเวียนผ่านโมดูลเส้นใยกลวงอีกครั้ง ทำเช่นนี้จำนวน 5 รอบ ส่วนปัจจัยอื่นๆ จะมีค่าคงที่ ดังนี้คือ ความเข้มข้นของโลหะแต่ละชนิดในสารละลายป้อน (ทองแดง โครเมียม และสังกะสี) มีค่า 100 ppm ความเป็นกรด-ด่างเป็น 2.5 (ค่าที่เหมาะสม

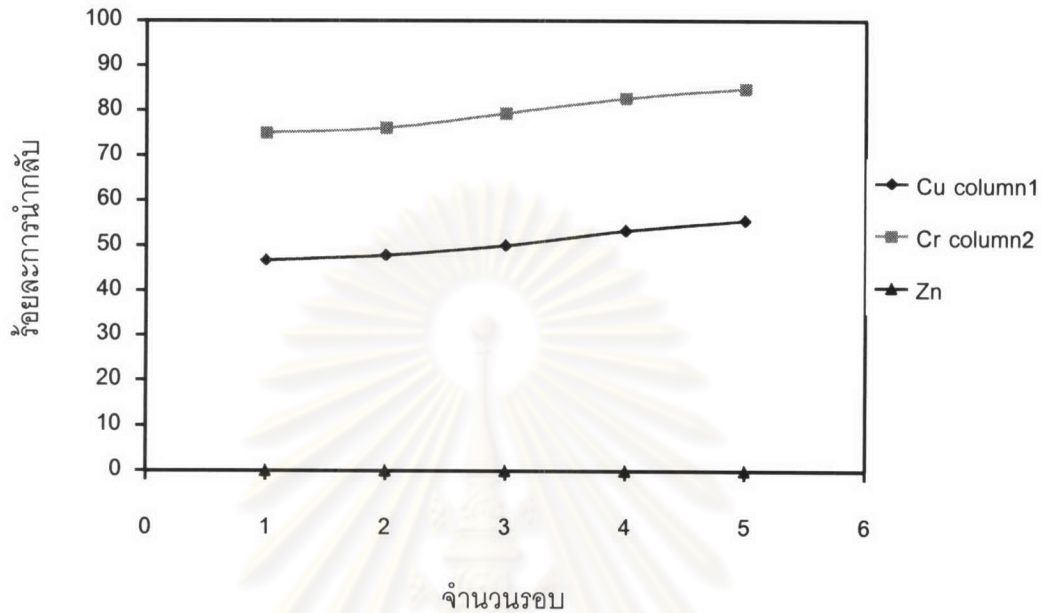
จากหัวข้อ 4.1) โดยโมดูลเส้นใยกลวงคอลัมน์ที่หนึ่งบรรจุสารสกัด LIX 84-I ความเข้มข้น 2.5 เปอร์เซ็นต์โดยปริมาตร (ค่าที่เหมาะสมจากหัวข้อ 4.2.1) ละลายในตัวทำละลายเคโรซีน และใช้กรดซัลฟูริกความเข้มข้น 0.5 โมลต่อลิตรเป็นสารละลายสตริป (ค่าที่เหมาะสมจากหัวข้อ 4.3.1) ส่วนโมดูลเส้นใยกลวงคอลัมน์ที่สองบรรจุสารสกัดอะลิควอตและโดเดคคานอล (สารปรับปรุงคุณภาพ) เข้มข้น 4 และ 5 เปอร์เซ็นต์โดยปริมาตรตามลำดับ (ค่าที่เหมาะสมจากหัวข้อ 4.2.2) ละลายในตัวทำละลายเคโรซีน และใช้โซเดียมไฮดรอกไซด์เข้มข้น 0.5 โมลต่อลิตรเป็นสารละลายสตริป (ค่าที่เหมาะสมจากหัวข้อ 4.3.2) อัตราการไหลของสารละลายป้อนและสารละลายสตริปมีค่า 100 มิลลิลิตรต่อนาที รูปแบบการไหลเป็นแบบสวนทางกันและไหลผ่านครั้งเดียว ผลการทดลองที่ได้แสดงดังรูปที่ 4.11 และ 4.12 ตามลำดับ



รูปที่ 4.11 ความสัมพันธ์ระหว่างจำนวนรอบในการผ่านโมดูลกับร้อยละการสกัดของโลหะ เมื่อ $[Cu^{2+}]_F = [HCrO_4]_F = [Zn^{2+}]_F = 100$ ppm, $pH_F = 2.5$, $[LIX\ 84-I]_{M1} = 2.5\%$ v/v, $[Aliquat]_{M1} = 4\%$ v/v, $[H_2SO_4]_{S1} = 0.5$ M, $[NaOH]_{S2} = 0.5$ M และ $Q_F = Q_S = 100$ มิลลิลิตรต่อนาที

จากรูปที่ 4.11 และ 4.12 พบว่าร้อยละการสกัดเมื่อผ่านเส้นใยกลวงรอบแรกนั้นทองแดงมีค่า 72.83 และโครเมียม 88.04 ส่วนร้อยละการนำกลับทองแดงมีค่า 46.74 และโครเมียม 75 ในกรณีสังกะสีจะไม่เกิดทั้งการสกัดและนำกลับได้เลยดังอธิบายข้างต้น และเมื่อเพิ่มจำนวนรอบในการผ่านโมดูลเส้นใยกลวงจะทำให้ค่าร้อยละการสกัดและนำกลับของทองแดงและโครเมียมเพิ่มขึ้น เนื่องจากการเพิ่มจำนวนรอบในการเพิ่มโมดูลเส้นใยกลวงเป็นการเพิ่มเวลาในการทำปฏิกิริยา (Resident time) ทำให้สารละลายป้อนสามารถสัมผัสกับเยื่อแผ่นเหลว และเยื่อแผ่นเหลวสามารถสัมผัสกับสารละลายสตริปได้นานขึ้น จึงเกิดปฏิกิริยาการสกัดและนำกลับได้เพิ่มขึ้น จากรูปที่ 4.11

จะพบว่าจำนวนในการผ่านโมดูลเส้นใยกลวงที่เหมาะสมคือ 3 รอบ โดยมีค่าร้อยละการสกัดของทองแดงและโครเมียม 77.17 และ 100 ตามลำดับ ส่วนรูปที่ 4.12 ร้อยละการนำกลับมีค่า 50 และ 79.35 ตามลำดับ



รูปที่ 4.12 ความสัมพันธ์ระหว่างจำนวนรอบในการผ่านโมดูลกับร้อยละการนำกลับของโลหะ เมื่อ $[Cu^{2+}]_F = [HCrO_4]_F = [Zn^{2+}]_F = 100$ ppm, $pH_F = 2.5$, $[LIX\ 84-I]_{M1} = 2.5\%$ v/v, $[Aliquat]_{M1} = 4\%$ v/v, $[H_2SO_4]_{S1} = 0.5$ M, $[NaOH]_{S2} = 0.5$ M และ $Q_F = Q_S = 100$ มิลลิลิตรต่ออนาที

จากตารางที่ 4.6 แสดงประสิทธิภาพในการเพิ่มของจำนวนรอบของโมดูลเส้นใยกลวงที่มีต่อค่าฟลักซ์ ค่าการซึมผ่าน และสัมประสิทธิ์การแยก จะพบว่าค่าทั้งสามจะคงที่เมื่อผ่านโมดูลเส้นใยกลวงในรอบที่สาม ซึ่งสอดคล้องกับการเลือกใช้เมื่อพิจารณาจากค่าร้อยละการสกัดและการนำกลับของโลหะในรูปที่ 4.11 และ 4.12

ตารางที่ 4.6 ค่าสัมประสิทธิ์การแยกของโลหะเมื่อเพิ่มจำนวนรอบในการผ่านโมดูลเส้นใยกลวง

จำนวนรอบ	ฟลักซ์ (mol/m ² min)		การซึมผ่าน (m/min)		สัมประสิทธิ์การแยก		
	J_{Cu}	J_{Cr}	P_{Cu}	P_{Cr}	$\alpha_{Cu/Cr}$	$\alpha_{Cr/Cu}$	$\alpha_{(Cu\ or\ Cr)/Zn}$
1	7.53×10^{-5}	1.11×10^{-4}	5.20×10^{-5}	6.29×10^{-5}	0.83	1.21	∞
2	7.76×10^{-5}	1.25×10^{-4}	5.36×10^{-5}	7.06×10^{-5}	0.76	1.32	∞
3	7.98×10^{-5}	1.26×10^{-4}	5.51×10^{-5}	7.14×10^{-5}	0.77	1.29	∞
4	7.98×10^{-5}	1.26×10^{-4}	5.51×10^{-5}	7.14×10^{-5}	0.77	1.29	∞
5	7.98×10^{-5}	1.26×10^{-4}	7.98×10^{-5}	7.14×10^{-5}	0.77	1.29	∞